

生姜秸秆栽培杏鲍菇培养基优化研究

闫永亮, 张秀云

(莱芜职业技术学院, 山东 莱芜 271100)

摘要:以杏鲍菇为试材,采用四元二次正交旋转组合设计的方法,研究了添加不同量生姜秸秆、麸皮、玉米粉和豆粕的培养基对杏鲍菇产量的影响,以确定生姜秸秆栽培杏鲍菇的最优配方。结果表明:生姜秸秆栽培杏鲍菇的优化配方为杂木屑30%、玉米芯18%、生姜秸秆25%、麸皮20%、玉米粉1%、豆粕4%、石膏1%、过磷酸钙1%。

关键词:杏鲍菇;生姜秸秆;正交旋转组合设计;优化配方

中图分类号:S 646 **文献标识码:**A **文章编号:**1001—0009(2014)07—0140—04

杏鲍菇又名刺芹侧耳,其子实体色泽洁白,菌肉肥厚,质地脆嫩,营养丰富,是深受国内外市场欢迎的珍稀食用菌之一。我国自20世纪90年代开始引种栽培杏鲍菇,目前已经取得了较大进展。杏鲍菇是一种腐生兼寄生性真菌,具有较强的酶分泌能力,对纤维素、木质素和蛋白质降解能力强,各种农副产品下脚料、农作物秸秆都可作为杏鲍菇栽培原料。随着研究的深入,杏鲍菇栽培基质越来越多元化。研究表明,杏鲍菇的主要栽培原料有杂木屑、棉籽壳、玉米芯、蔗渣、麦秆、黄豆秆、废棉、稻草、甘薯藤和花生茎蔓等^[1-6]。莱芜是“中国生姜之乡”,种植生姜历史已逾2000年,常年种植面积达1.2万hm²,每年生姜收获后,都有大量的生姜秸秆或堆放于路边、或就地焚烧,不仅给道路交通造成安全隐患,而且由于焚烧生姜秸秆造成的烟雾给环境造成了严重的污染,影响周边群众的生活。根据杏鲍菇具有较强的分解纤维素和木质素的特点,实现就地取材,综合利用生姜秸秆替代棉籽壳,变废为宝,拓宽杏鲍菇栽培原料的来源。现采用四元二次正交旋转回归数学模型,借鉴当地杏鲍菇生产经验,选取生姜秸秆、麸皮、玉米粉和豆

粕的添加量作为考察指标,利用数学模型提供的信息,对生姜秸秆栽培杏鲍菇的高产配方进行优化,以获得最佳产量和经济效益,为生姜秸秆的综合利用提供一定的依据。

1 材料与方法

1.1 试验材料

供试菌株“杏鲍菇79号”引自山东省寿光市食用菌研究中心。

培养基:参照当地杏鲍菇生产配方,添加生姜秸秆、麸皮、玉米粉和豆粕的用量,在此基础上各个配方分别再添加1%的石膏和1%的过磷酸钙,剩余的量由杂木屑和玉米芯按5:3比例补足。

1.2 试验方法

用生姜秸秆代替其中的棉籽壳,选择生姜秸秆、麸皮、玉米粉和豆粕作为试验因素,采用四元二次正交旋转组合设计(全实施),进行36组试验,每组20袋,以每组杏鲍菇的袋平均产量为目标函数(\hat{Y}),优化用生姜秸秆替代棉籽壳栽培杏鲍菇的最佳生产配方,试验因素与水平见表1。

表 1

四元二次正交旋转组合设计因素与水平

Table 1

Factors and levels of four factors quadratic rotation-orthogonal combination design

%

| 水平 Level | 因素 Factor | | | | % |
|-------------|---|---|--|---|---|
| | X ₁ 生姜秸秆添加量 Supplementation of ginger straw | X ₂ 麸皮添加量 Supplementation of bran | X ₃ 玉米粉添加量 Supplementation of corn flour | X ₄ 豆粕添加量 Supplementation of soybean meal | |
| +2 | 30 | 20 | 5 | 10.0 | |
| +1 | 25 | 17 | 4 | 8.5 | |
| 0 | 20 | 14 | 3 | 7.0 | |
| -1 | 15 | 11 | 2 | 5.5 | |
| -2 | 10 | 8 | 1 | 4.0 | |
| Δj | 5 | 3 | 1 | 1.5 | |

第一作者简介:闫永亮(1975-),男,硕士,讲师,现主要从事生物技术的教学与科研工作。E-mail:yyl08peter@126.com。

收稿日期:2013—12—10

1.3 项目测定

选取新鲜、无霉变的生姜秸秆,经过暴晒干燥后,用粉碎机粉碎成长约1cm的小段,豆粕粉碎成直径约

5 mm 的颗粒后进行发酵处理,根据试验方案将原辅料混合均匀,用 1% 过磷酸钙水溶液拌料至培养基含水量 60%~65%, pH 自然。用规格为 20 cm×40 cm 的高密度低压聚乙烯塑料折角袋,每袋装干料 500 g, 常压灭菌 12 h, 冷却后无菌条件下接种, 20~25℃避光发菌培养, 菌丝满袋后移入室外菇棚内按试验组随机排列常规管理出菇, 只统计第 1、2 潮菇产量, 计算杏鲍菇袋平均产量。

1.4 数据分析

试验数据采用 DPS 7.05 软件进行分析处理。

2 结果与分析

2.1 四元二次正交旋转组合设计结果

根据表 2 试验结果,建立目标函数(杏鲍菇袋平均产量 \hat{Y})与考察因素之间的数学回归模型为: $\hat{Y} =$

表 2 二次正交旋转组合设计结果

Table 2 Test results and design of quadratic rotation-orthogonal combination

| 试验号 Experiment No. | X ₁ | X ₂ | X ₃ | X ₄ | 袋均产量 Yield of bagged/g | 生物转化率 Biological efficiency/% |
|-----------------------|----------------|----------------|----------------|----------------|---------------------------|----------------------------------|
| 1 | 1 | 1 | 1 | 1 | 342.9 | 68.58 |
| 2 | 1 | 1 | 1 | -1 | 341.8 | 68.36 |
| 3 | 1 | 1 | -1 | 1 | 348.5 | 69.70 |
| 4 | 1 | 1 | -1 | -1 | 335.7 | 67.41 |
| 5 | 1 | -1 | 1 | 1 | 327.9 | 65.58 |
| 6 | 1 | -1 | 1 | -1 | 313.6 | 62.72 |
| 7 | 1 | -1 | -1 | 1 | 321.3 | 64.26 |
| 8 | 1 | -1 | -1 | -1 | 288.9 | 57.78 |
| 9 | -1 | 1 | 1 | 1 | 329.3 | 65.86 |
| 10 | -1 | 1 | 1 | -1 | 335.9 | 67.18 |
| 11 | -1 | 1 | -1 | 1 | 340.3 | 68.06 |
| 12 | -1 | 1 | -1 | -1 | 343.6 | 68.72 |
| 13 | -1 | -1 | 1 | 1 | 320.5 | 64.10 |
| 14 | -1 | -1 | 1 | -1 | 293.5 | 58.70 |
| 15 | -1 | -1 | -1 | 1 | 306.9 | 61.38 |
| 16 | -1 | -1 | -1 | -1 | 280.4 | 56.08 |
| 17 | -2 | 0 | 0 | 0 | 308.9 | 61.78 |
| 18 | 2 | 0 | 0 | 0 | 315.7 | 63.14 |
| 19 | 0 | -2 | 0 | 0 | 295.6 | 59.12 |
| 20 | 0 | 2 | 0 | 0 | 346.7 | 69.34 |
| 21 | 0 | 0 | -2 | 0 | 312.8 | 62.56 |
| 22 | 0 | 0 | 2 | 0 | 331.6 | 66.31 |
| 23 | 0 | 0 | 0 | -2 | 308.7 | 61.74 |
| 24 | 0 | 0 | 0 | 2 | 342.5 | 68.50 |
| 25 | 0 | 0 | 0 | 0 | 323.4 | 64.68 |
| 26 | 0 | 0 | 0 | 0 | 318.7 | 63.74 |
| 27 | 0 | 0 | 0 | 0 | 320.5 | 64.10 |
| 28 | 0 | 0 | 0 | 0 | 324.6 | 64.92 |
| 29 | 0 | 0 | 0 | 0 | 319.5 | 63.60 |
| 30 | 0 | 0 | 0 | 0 | 325.6 | 65.12 |
| 31 | 0 | 0 | 0 | 0 | 315.4 | 65.08 |
| 32 | 0 | 0 | 0 | 0 | 324.7 | 64.94 |
| 33 | 0 | 0 | 0 | 0 | 323.5 | 64.70 |
| 34 | 0 | 0 | 0 | 0 | 312.4 | 62.80 |
| 35 | 0 | 0 | 0 | 0 | 321.7 | 64.34 |
| 36 | 0 | 0 | 0 | 0 | 326.1 | 65.22 |

$321.34167 + 3.49167X_1 + 15.3X_2 + 3.225X_3 + 7.15833X_4 - 1.78125X_1^2 + 0.43125X_2^2 + 0.69375X_3^2 + 1.54375X_4^2 - 1.9125X_1X_2 + 1.4875X_1X_3 + 1.0625X_1X_4 - 4.7625X_2X_3 - 6.0125X_2X_4 - 2.0375X_3X_4$ 。为检验回归方程的有效性,按 F_1 =失拟均方/误差均方, F_2 =回归均方/剩余均方的程序进行二次 F 检验^[7]。

由表 3 可知, 方程中的失拟项 ($F_1 = 1.83069, P > 0.05$) 不显著, 说明由于偶然因素对该试验造成的影响不显著, 误差是随机产生的, 回归方程的拟合检验 $F_2 = 24.76027$, 从概率上来讲, 整个回归模型达到了极显著的水平 ($P = 0.0001$), 也就是说回归方程与在试验中选定的条件下试验结果拟合较好, 可以用来预测在该试验范围内任何因子水平组合的指标值。

由于试验设计的正交性消除了各个回归系数之间的相关性, 因此可以直接从回归方程中剔除回归系数不显著项, 对回归方程进行简化。以下是 $\alpha = 0.10$ 显著水平剔除不显著项, 简化后建立的回归方程为: $\hat{Y} = 321.34167 + 3.49167X_1 + 15.3X_2 + 3.225X_3 + 7.15833X_4 - 1.78125X_1^2 + 1.54375X_4^2 - 4.7625X_2X_3 - 6.0125X_2X_4$ 。

表 3 二次正交旋转组合试验结果方差分析

Table 3 Analysis of variance of results of quadratic rotation-orthogonal combination test

| 变异来源 Source of variation | 平方和 Squariance | 自由度 Df | 均方 Mean square | 偏相关 Partial correlation | F 值 F value | P 值 P value |
|-------------------------------|-------------------|-----------|-------------------|----------------------------|------------------|----------------|
| X ₁ | 292.6017 | 1 | 292.6017 | 0.5973 | 11.6464 | 0.0026 |
| X ₂ | 5 618.1598 | 1 | 5 618.1598 | 0.9561 | 223.6182 | 0.0001 |
| X ₃ | 249.6150 | 1 | 249.6150 | 0.5667 | 9.9354 | 0.0048 |
| X ₄ | 1 229.8016 | 1 | 1 229.8016 | 0.8365 | 48.9495 | 0.0001 |
| X ₁ ² | 101.5312 | 1 | 101.5312 | -0.4017 | 4.0412 | 0.0574 |
| X ₂ ² | 5.9512 | 1 | 5.9512 | 0.1056 | 0.2369 | 0.6315 |
| X ₃ ² | 15.4012 | 1 | 15.4012 | 0.1684 | 0.6130 | 0.4424 |
| X ₄ ² | 76.2612 | 1 | 76.2612 | 0.3554 | 3.0354 | 0.0961 |
| X ₁ X ₂ | 58.5225 | 1 | 58.5225 | -0.3160 | 2.3294 | 0.1419 |
| X ₁ X ₃ | 35.4025 | 1 | 35.4025 | 0.2508 | 1.4091 | 0.2485 |
| X ₁ X ₄ | 18.0625 | 1 | 18.0625 | 0.1819 | 0.7189 | 0.4061 |
| X ₂ X ₃ | 362.9025 | 1 | 362.9025 | -0.6384 | 14.4445 | 0.0010 |
| X ₂ X ₄ | 578.4025 | 1 | 578.4025 | -0.7232 | 23.0220 | 0.0001 |
| X ₃ X ₄ | 66.4225 | 1 | 66.4225 | -0.3344 | 2.6438 | 0.1189 |
| 回归 Regression | 8 709.0383 | 14 | 622.0742 | | $F_2 = 24.76027$ | 0.0001 |
| 剩余 Surplus | 527.6017 | 21 | 25.1239 | | $F_1 = 1.83069$ | 0.1168 |
| 失拟 Lack of fit | 329.5725 | 10 | 32.9572 | | | |
| 误差 Error | 198.0292 | 11 | 18.0027 | | | |
| 总和 Sum | 9 236.6400 | 35 | | | | |

2.2 主效因子分析

由于二次模型是经过编码代换, 正交化的, 1 个因子回归系数的大小, 表示该因子增产效应的大小^[8]。从表 3 可以看出, X₁、X₂、X₃、X₄ 4 个主因子一次项都达到了极显著的水平, 对杏鲍菇的产量有显著的影响, 4 个试验因

素对杏鲍菇产量增产效应的大小顺序是 $X_2 > X_4 > X_1 > X_3$, 所以在试验因素参试水平范围内, 合理选择最佳添加范围, 就能有效的提高杏鲍菇的产量, 取得最佳的经济效益。

2.3 回归模型的单因子效应分析

将4个参试因素中的任意3个因素固定在零水平, 可以得到各单一因素对杏鲍菇产量影响的回归子模型:

$$X_1 \hat{Y} = 321.34167 + 3.49167X_1 - 1.78125X_1^2;$$

$$X_2 \hat{Y} = 321.34167 + 15.3X_2;$$

$$X_3 \hat{Y} = 321.34167 + 3.225X_3;$$

$$X_4 \hat{Y} = 321.34167 + 7.15833X_4 + 1.54375X_4^2.$$

由图1可知, 在参试的4个因素中, 因素 X_2 (麸皮添加量)、 X_3 (玉米粉添加量)与杏鲍菇产量成线性关系, 单纯从麸皮和玉米粉添加量的角度考虑, 在-2~2这一水平区间, 杏鲍菇的产量随着麸皮和玉米粉添加量的递增而增加, 每增加1个水平, 杏鲍菇的袋均产量将分别增加15.3 g和3.23 g, 其中麸皮添加量对杏鲍菇产量的影响更大; 因素 X_1 (生姜秸秆添加量)与杏鲍菇的产量之间的关系曲线是一开口向下的抛物线, 在该试验水平范围内, 当因素 X_1 取1.0水平时, 其对杏鲍菇产量的贡献达到最大值, 之后随着添加量的增加杏鲍菇的产量反而有所下降; 因素 X_4 (豆粕添加量)在-2~2的参试水平范围内, 随着豆粕添加量的增加, 杏鲍菇的产量呈现出递增的趋势。

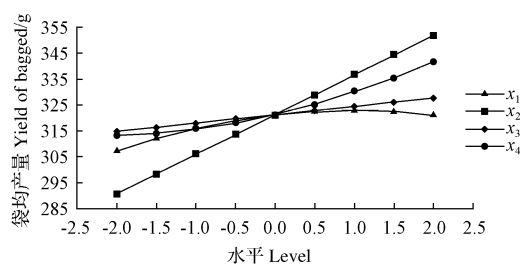


图1 各因素对杏鲍菇袋均产量的影响

Fig. 1 Effect of signal factor on yield per bag of *Pleurotus eryngii*

2.4 回归模型交互效应分析

2.4.1 X_2 与 X_3 交互效应及其对产量的影响 X_2 与 X_3 2个因素互作效应的回归方程是: $\hat{Y}_{(X_2, X_3)} = 321.34 + 15.3X_2 + 3.225X_3 - 4.76X_2X_3$, X_2 与 X_3 交互作用对杏鲍菇产量呈负相关, 由表4可知, X_2 取[-1, -2]水平时, 随着 X_3 用量水平的下降, X_2 与 X_3 的互作表现为明显的减产效应, 当 X_2 与 X_3 都取-2水平时, 杏鲍菇袋均产量减产达56.09 g。 X_2 取[1, 2]水平时, 杏鲍菇产量随着 X_3 用量水平的增加反而逐渐降低, 这是因为当 X_2 取较高水平时培养基中的氮源物质含量较高, 继续增加氮源物质的量对杏鲍菇的产量反而有减产的作用。当

X_2 取2水平, X_3 取[-1, -2]水平时, 由于二因素的互作效应杏鲍菇有明显的增产作用, 所以在生产实际中, 因素 X_2 的添加量可以取+2水平, X_3 的添加量可以取[-1, -2]水平。

表4 X_2 、 X_3 的各水平与Y的关系

Table 4 Relation table of different levels of X_2 、 X_3 and Y

| X_3 水平 X_3 level | X ₂ 不同水平与 X_3 的交互效应(Y) The interactive effect of different level of X_2 and X_3 (Y) | | | | |
|-------------------------|---|--------|--------|---------|---------|
| | 2 | 1 | 0 | -1 | -2 |
| 2 | 18.010 | 12.230 | 6.450 | 0.67 | -5.110 |
| 1 | 24.305 | 13.765 | 3.225 | -7.315 | -17.855 |
| 0 | 30.600 | 15.300 | 0 | -15.300 | -30.600 |
| -1 | 36.895 | 16.835 | -3.225 | -23.285 | -43.345 |
| -2 | 43.190 | 18.370 | -6.450 | -31.270 | -56.090 |

2.4.2 X_2 与 X_4 交互效应及其对产量的影响 X_2 与 X_4 2个因素互作效应的回归方程是: $\hat{Y}_{(X_2, X_4)} = 321.34 + 15.3X_2 + 7.16X_4 + 1.54X_4^2 - 6.01X_2X_4$, 由 X_2 、 X_4 互作效应的回归方程看出, X_2 、 X_4 的交互效应小于它们的单一效应, 并且呈负相关。由表5可知, 因素 X_2 、 X_4 都取负水平时, 有明显的减产效应, 随着因素 X_2 用量水平的增加, 因素 X_4 在各水平都有增产趋势, 但因素 X_4 在负水平比在正水平条件下有比较明显的增产效应。在生产实际中, 因素 X_2 的添加量可以取+2水平, X_4 的添加量可以取[-1, -2]水平。

表5 X_2 、 X_4 的各水平与Y的关系

Table 5 Relation table of different levels of X_2 、 X_4 and Y

| X_4 水平 X_4 level | X ₂ 不同水平与 X_4 的交互效应(Y) The interactive effect of different level of X_2 and X_4 (Y) | | | | |
|-------------------------|---|-------|-------|--------|--------|
| | 2 | 1 | 0 | -1 | -2 |
| 2 | 27.04 | 23.76 | 20.48 | 17.2 | 13.92 |
| 1 | 27.28 | 17.99 | 8.70 | -0.59 | -9.88 |
| 0 | 30.60 | 15.30 | 0 | -15.30 | -30.60 |
| -1 | 37.00 | 15.69 | -5.62 | -26.93 | -48.24 |
| -2 | 46.48 | 19.16 | -8.16 | -35.48 | -62.80 |

2.5 杏鲍菇培养基配方优化与验证

通过二次正交旋转回归模型的分析, 得出杏鲍菇产量最高点的代码值为 $X_1=1$ 、 $X_2=2$ 、 $X_3=-2$ 、 $X_4=-2$, 杏鲍菇产量的最大预测值为382.16 g/袋, 将代码值转换成各参试因素的添加量, 得到生姜秸秆栽培杏鲍菇的最优配方为杂木屑30%, 玉米芯18%, 生姜秸秆25%, 麸皮20%, 玉米粉1%, 豆粕4%, 石膏1%, 过磷酸钙1%。以此最优配方进行3组平行试验, 每组20袋, 按照前面的方法进行生产管理, 得到杏鲍菇袋均产量为372.4 g, 与理论预测值比较接近, 回归方程的预测性良好, 说明建立的回归方程是合理可靠的。

2.6 生姜秸秆与棉籽壳配方栽培杏鲍菇产量比较

对生姜秸秆配方与棉籽壳配方(杂木屑30%, 玉米

芯 18%, 棉籽壳 25%, 豹皮 20%, 玉米粉 1%, 豆粕 4%, 石膏 1%, 过磷酸钙 1%) 进行杏鲍菇栽培试验比较, 由表 6 可知, 在其它生产条件相同的情况下, 生姜秸秆配方栽培杏鲍菇的袋均产量比棉籽壳配方的略有下降, 但由于生姜秸秆是当地农业生产的废弃物, 来源广泛, 生产成本低, 因此用生姜秸秆代替棉籽壳来进行杏鲍菇的栽培具有可行性。

表 6 不同配方产量比较

Table 6 Yield comparation of different compost

| 配方 Formula | 袋均产量 Yield of bagged/g | 生物学效率 Biological efficiency/% |
|---------------|---------------------------|----------------------------------|
| 生姜秸秆配方 | 368.9 | 73.78 |
| 棉籽壳配方 | 395.6 | 79.12 |

3 结论与讨论

杏鲍菇的栽培基质, 除了木质性栽培原料外, 纤维性原料来源也十分广泛。棉籽壳具有优良的透气和蓄水性, 加上其营养容易被利用, 是当前栽培杏鲍菇的常用原料。但棉籽壳还有一些残余的棉仁, 棉仁中含有的棉酚, 含量超过 3% 时会抑制菌丝的生长, 达到 5% 时菌丝生长会停止, 不仅影响生长, 还会影响子实体的产量^[9]。该研究用生姜秸秆代替棉籽壳进行杏鲍菇高产栽培, 结果表明生姜秸秆的添加量在 [0.5, 1] 水平范围内, 杏鲍菇的产量可以达到最佳, 添加量过多和过少杏鲍菇的产量都会降低, 这与栽培料中 C/N 比有关, 通过数学模型优化得到的最优配方中, 生姜秸秆的添加量取 1 水平(添加 25%), 与棉籽壳配方相比较, 虽然生物学效率有所下降, 但由于生姜秸秆是当地的废弃物, 从成本和生物资源利用的角度考虑, 完全可以替代棉籽壳进行杏鲍菇的栽培。4 个因素中, 豹皮、玉米粉和豆粕都是培养基中的氮源物质, 其中以豹皮对杏鲍菇产量的影响最

大, 豆粕次之, 玉米粉的影响最小。在豹皮、豆粕和玉米粉都取一 2 水平时, 杏鲍菇产量有明显的下降, 这是由于培养基中的氮源物质含量只有 13%, C/N 较高影响了杏鲍菇的生物转化率, 这与廖志敏等^[10]的研究结果一致。随着豹皮用量的增加, 杏鲍菇的产量也逐渐增加, 当豹皮添加量取最高水平时, 添加过多的豆粕和玉米粉反而会使产量下降, 所以在生产实际中, 可以增加豹皮的用量而减少玉米粉和豆粕的用量。通过数学模型优化并经试验验证, 生姜秸秆栽培杏鲍菇可以采用如下的配方为杂木屑 30%, 玉米芯 18%, 生姜秸秆 25%, 豹皮 20%, 玉米粉 1%, 豆粕 4%, 石膏 1%, 过磷酸钙 1%, 这样不仅可以为生姜秸秆的综合利用找到一条新的出路, 而且可以降低杏鲍菇生产成本, 增加菇农的收入。

参考文献

- [1] 胡润芳, 林衍诠, 黄建成. 杏鲍菇不同配方栽培研究[J]. 中国食用菌, 1999, 18(3): 7-8.
- [2] 石景尚, 杜适普, 张云峰, 等. 栽培杏鲍菇配方筛选试验[J]. 食用菌, 2001, 23(1): 22.
- [3] 叶显, 陈尤经. 蔗渣栽培杏鲍菇试验[J]. 食用菌, 2001, 23(2): 21.
- [4] 洪建基, 曾日秋, 卢川北, 等. 不同培养料栽培杏鲍菇试验[J]. 中国食用菌, 2003, 22(2): 23-24.
- [5] 万鲁长, 刘广建, 任鹏飞, 等. 花生茎蔓主料栽培杏鲍菇的安全优质标准化技术[J]. 食药用菌, 2012, 20(3): 166-168.
- [6] 华秀红, 宋金悌, 林金盛. 农业秸秆在杏鲍菇生产中的应用[J]. 生态与农村环境学报, 2010, 26(4): 390-393.
- [7] 唐启义, 冯明光. 实用统计分析及其数据处理系统[M]. 北京: 科学技术出版社, 2002: 159-163.
- [8] 桑育春, 余良甫. 五元二次正交旋转回归模型的数学分析法[J]. 河北农业大学学报, 1986, 9(1): 66-73.
- [9] 林群英, 张峰伦, 孙晓明, 等. 杏鲍菇生物学特性及栽培技术研究进展[J]. 中国野生植物资源, 2013, 32(1): 12-14.
- [10] 廖志敏, 郭倩, 尚晓东, 等. 杏鲍菇工厂化栽培基质研究[J]. 上海农业学报, 2009, 25(2): 62-65.

Study on Optimization of Formula for Cultivation of *Pleurotus eryngii* Using Ginger Straw

YAN Yong-liang, ZHANG Xiu-yun

(Laiwu Vocational Institute of Technology, Laiwu, Shandong 271100)

Abstract: Taking *Pleurotus eryngii* as material, using four factors quadratic rotation-orthogonal combination design, the effect of additive amount of ginger straw, bran, corn flour and soybean on yield of *Pleurotus eryngii* were studied, the optimal compost for cultivation medium of *Pleurotus eryngii* by ginger straw was obtained. The results showed that the optimization formula for cultivation of *Pleurotus eryngii* was 30% of sawdust, 18% of corn-cob, 25% ginger straw, 20% bran, 1% corn flour, 4% soybean, 1% gesso and 1% of superphosphate.

Key words: *Pleurotus eryngii*; ginger straw; rotation-orthogonal combination design; optimization formula